

ФЕДЕРАЛЬНОЕ ГОСУДАРСТВЕННОЕ БЮДЖЕТНОЕ  
ОБРАЗОВАТЕЛЬНОЕ  
УЧРЕЖДЕНИЕ ВЫСШЕГО ОБРАЗОВАНИЯ  
“МОСКОВСКИЙ ГОСУДАРСТВЕННЫЙ УНИВЕРСИТЕТ  
имени М. В. ЛОМОНОСОВА”

---

ФИЗИЧЕСКИЙ ФАКУЛЬТЕТ

КУРСОВАЯ РАБОТА

Вращающиеся бозе-звёзды

Выполнила студентка

212 группы

Пушная Е.К.

Научный руководитель:

с.н.с. ОТФ ИЯИ РАН,

кандидат физ.-мат. наук Левков Д.Г.

Москва

2018 г.

# Содержание

1	Введение	2
2	Постановка задачи	2
3	Невращающиеся бозе-звёзды в $3+1$ измерениях	3
4	Вращающиеся бозе-звёзды в $2+1$ измерениях	5
5	Стабильность бозе-звёзд	8
6	Заключение	14
7	Список литературы	14

# 1 Введение

Исследования движения звёзд во Вселенной показывают, что на них влияет невидимая тёмная материя, гравитационное поле которой во много раз пре-  
восходит поле видимой. Поэтому изучение тёмной материи вызывает огром-  
ный интерес. Так, одним из кандидатов на частицу подобной материи явля-  
ется сверхлёгкий аксион; его масса должна составлять порядка  $2.6 * 10^{-5} eV$ .

[1]

Спин аксионов 0, так что они бозоны [2] и могут образовывать бозе-конденсат, который собирается в бозе-звёзды, тугие гравитационно-связанные объекты.

[3] Описание поведения бозе-конденсата можно найти в третьей главе [4].

В данной работе мы собираемся выяснить, как будут выглядеть бозе-звёзды в двух и трёх пространственных измерениях, как описать и проанализировать их вращение, а также стабильны ли они.

# 2 Постановка задачи

Если описывать бозе-конденсат волновой функцией  $\phi$ , можно нормиро-  
вать её на число частиц:  $\int_{-\infty}^{+\infty} |\phi|^2 d^n x = N$ , а значит,  $|\phi|^2$  приобретает простой  
физический смысл; это плотность частиц в данной точке пространства, п.  
Волновая функция удовлетворяет уравнению Шрёдингера:

$$i \frac{\partial \phi}{\partial t} = -\frac{1}{2m} \Delta \phi + \Phi \phi, \quad (1)$$

Где использована система единиц с  $\hbar = 1$ .  $\Delta \Phi = 4\pi G \rho(x_n)$  - гравитационный  
потенциал конденсата. Мы предполагаем, что звезда стационарна. Тогда ре-  
шение можно записать в виде:

$$\phi = \phi_0(r, \theta) e^{-i\mathcal{E}t} e^{il\varphi}, \quad (2)$$

$\phi_0$  действительно. Для двухмерной бозе-звезды всё совершенно аналогично,  
с той лишь разницей, что  $\phi_0$  зависит только от  $r$ .

Выразим плотность потока конденсата:

$$j = \frac{i}{2m} (\phi \nabla \phi^* - \phi^* \nabla \phi). \quad (3)$$

Подставляя в выражение потока  $\phi = \phi_0 e^{iQ}$ , получаем

$$j = \frac{1}{m} \phi_0^2 \nabla(Q), \quad (4)$$

Так что для скорости сверхтекущего движения,  $v = j/\phi_0^2$

$$rot v = 0. \quad (5)$$

Мы пришли к важной особенности сверхтекущей жидкости: потенциальности её течения. Она нарушается лишь при возникновении квантовых вихревых нитей: в тех точках, где фаза волновой функции плохо определена, т.е. где  $\phi$  обращается в ноль. Поэтому в решениях для вращающегося бозе-конденсата мы ожидаем увидеть вихрь: точку в звезде, где плотность частиц нулевая. Наша задача - найти профиль бозе-звезды при различных значениях  $l$ , а также исследовать полученные решения на стабильность.

### 3 Невращающиеся бозе-звезды в 3+1 измерениях

Найдём профиль невращающейся бозе-звезды в трёх пространственных измерениях. Для этого необходимо привести уравнения к иному виду. Подставляя (2) в (1), получаем стационарное уравнение Шрёдингера для невращающейся бозе-звезды:

$$\frac{\Delta}{2m} \phi_0 = (-\mathcal{E} + \Phi) \phi_0, \quad (6a)$$

$$\Delta \Phi = 4\pi G m \phi_0^2. \quad (6b)$$

Нужно, однако, как-то избавиться от констант. Для этого мы вводим новые переменные:  $\Phi' = N_0 \Phi$ ,  $\phi'_0 = N_1 \phi_0$ , и делаем координатное преобразование

$r' = \frac{r}{mv_0}$ ;  $N_0, N_1$  и  $v_0$  - постоянные. Выбирая  $N_0 = \frac{1}{2\mathcal{E}}$ ,  $N_1 = \pi G/\mathcal{E}^2$  и  $v_0 = 1/(2m^3\mathcal{E})$ , получаем

$$\Delta\phi_0 = (-1 + 2\Phi)\phi_0, \quad (7a)$$

$$\Delta\Phi = \phi_0^2, \quad (7b)$$

Штрихи опущены из эстетических соображений. Чтобы решение (2) было регулярным в нуле, необходимо, чтобы поля имели разложения  $\phi_0 = c_1 + c_2r^2 + c_5r^4\dots$ ,  $\Phi = r^2(c_3 + c_4r^2 + c_6r^4\dots)$ .

Далее вводим обозначения

$$y_0 = \phi_0, \quad (8a)$$

$$y_1 = \frac{1}{r} \frac{\partial \phi_0}{\partial r}, \quad (8b)$$

$$y_2 = \Phi_1 = \frac{\Phi}{r^2}, \quad (8c)$$

$$y_3 = \frac{1}{r} \frac{\partial \Phi_1}{\partial r}. \quad (8d)$$

Из уравнений (4) получаем систему, которую будем решать численно:

$$y'_0 = ry_1, \quad (9a)$$

$$ry'_1 = (-1 + 2y_2r^2)y_0 - 3y_1, \quad (9b)$$

$$y'_2 = ry_3, \quad (9c)$$

$$r^3y'_3 = y_0^2 - 6y_2 - 7r^2y_3, \quad (9d)$$

Начальные условия

$$y_1(0) = 2c_2 = -\frac{c_1}{3}, \quad (10a)$$

$$y_2(0) = c_3 = \frac{c_1^2}{6}, \quad (10b)$$

$$y_3(0) = 2c_4 = -\frac{c_1^2}{30} \quad (10c)$$

Включают одну неопределённую константу  $c_1$ . Решать задачу будем методами перестрелки и Булирша-Штёра [5]:  $c_1$  подберём так, чтобы  $\phi_0$  и  $\Phi$  имели

нужные асимптотики на бесконечности, а  $N = \int_{-\infty}^{+\infty} |\phi|^2 d^n x$  существовал.

На графике представлен профиль бозе-звезды. Он совпадает с результатом [3] с точностью до перешкалировки, так что методу, используемому в данной работе, можно доверять.

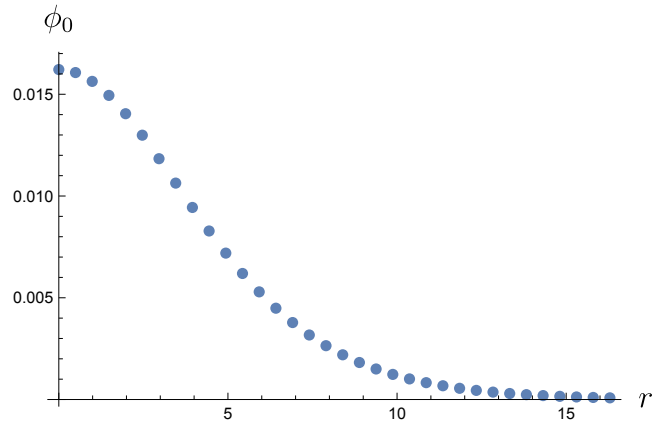


Рис. 1: Профиль трёхмерной бозе-звезды

## 4 Вращающиеся бозе-звезды в 2+1 измерениях

В двумерном пространстве можно решить (1) теми же методами, сделав такие же замены. Мы добавим лишь

$$\phi_0 = r^l \phi_1, \quad (11)$$

И получим для  $l=0$ :

$$\frac{1}{r} \frac{\partial \phi_1}{\partial r} + \frac{\partial^2 \phi_1}{\partial r^2} = (-1 + 2\Phi_1 r^2) \phi_1, \quad (12a)$$

$$4\Phi_1 + 5r \frac{\partial \Phi_1}{\partial r} + r^2 \frac{\partial^2 \Phi_1}{\partial r^2} = \phi_1^2. \quad (12b)$$

Для  $l=1$ :

$$\frac{3}{r} \frac{\partial \phi_1}{\partial r} + \frac{\partial^2 \phi_1}{\partial r^2}, = (-1 + 2\Phi_1 r^4) \phi_1, \quad (13a)$$

$$16\Phi_1 + 9r \frac{\partial \Phi_1}{\partial r} + r^2 \frac{\partial^2 \Phi_1}{\partial r^2} = \phi_1^2. \quad (13b)$$

l=2:

$$\frac{5}{r} \frac{\partial \phi_1}{\partial r} + \frac{\partial^2 \phi_1}{\partial r^2}, = (-1 + 2\Phi_1 r^6) \phi_1, \quad (14a)$$

$$36\Phi_1 + 13r \frac{\partial \Phi_1}{\partial r} + r^2 \frac{\partial^2 \Phi_1}{\partial r^2} = \phi_1^2. \quad (14b)$$

У изолированной бозе-звезды  $\phi_0$  стремится к нулю при больших  $r$ . Выясним, какие начальные условия нужно выбрать. Подставим  $\phi_1 = c_1 + c_2 r^2$ ,  $\Phi_1 = c_3 + c_4 r^2$  в уравнения (12-14). Получаем, для l=0:

$$2c_2 = -\frac{c_1}{2}, \quad (15a)$$

$$c_3 = \frac{c_1^2}{4}, \quad (15b)$$

$$2c_4 = \frac{c_1^2}{16}. \quad (15c)$$

Для  $l = 1$ :

$$2c_2 = -\frac{c_1}{4}, \quad (16a)$$

$$c_3 = \frac{c_1^2}{16}, \quad (16b)$$

$$2c_4 = \frac{c_1^2}{72}. \quad (16c)$$

Для  $l = 2$ :

$$2c_2 = -\frac{c_1}{6}, \quad (17a)$$

$$c_3 = \frac{c_1^2}{36}, \quad (17b)$$

$$2c_4 = \frac{c_1^2}{192}. \quad (17c)$$

Делаем аналогичные замены переменных

$$y_0 = \phi_1, \quad (18a)$$

$$y_1 = \frac{1}{r} \frac{\partial \phi_1}{\partial r}, \quad (18b)$$

$$y_2 = \Phi_1 = \frac{\Phi}{r^2}, \quad (18c)$$

$$y_3 = \frac{1}{r} \frac{\partial \Phi_1}{\partial r}. \quad (18d)$$

Получаем

$$y'_0 = ry_1, \quad (19a)$$

$$ry'_1 = (-1 + 2y_2r^{2l+2})y_0 - 2(l+1)y_1, \quad (19b)$$

$$y'_2 = ry_3, \quad (19c)$$

$$r^3y'_3 = y_0^2 - 4(l+1)^2y_2 - (4l+6)r^2y_3 \quad (19d)$$

Начальные условия для  $y_i$  следуют из уравнений (15-18). В них входит неопределённая константа  $c_1$ , которую мы используем как параметр перестрелки.

Получены решения для  $l = 0, 1, 2$ :

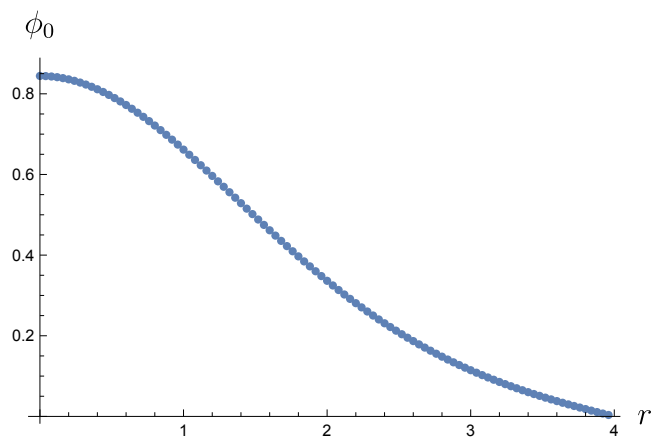


Рис. 2: Профиль бозе-звезды при  $l=0$

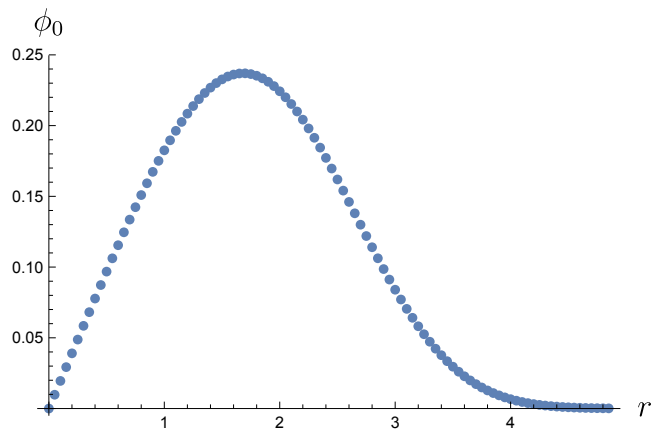


Рис. 3: Профиль бозе-звезды при  $l=1$

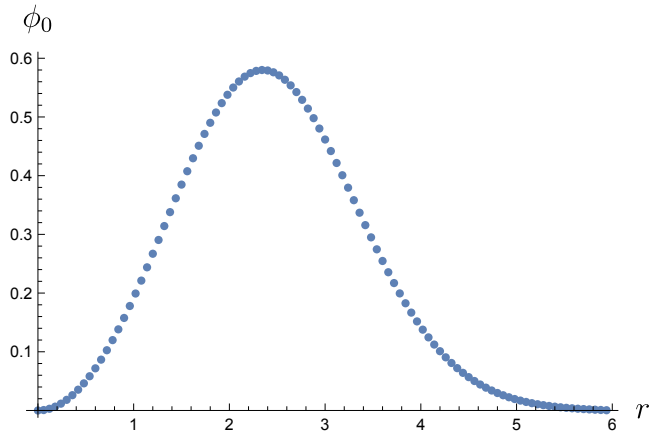


Рис. 4: Профиль бозе-звезды при  $l=2$

## 5 Стабильность бозе-звёзд

Уравнение (1) можно записать в гамильтоновом виде подобно тому, как это сделали Захаров и Кузнецов в [6]:

$$i \frac{\partial \phi}{\partial t} = \frac{\delta H}{\delta \phi^*}, \quad (20a)$$

$$H = \frac{1}{2} \int d^n x [|\nabla \phi|^2 + 2\Phi|\phi|^2]. \quad (20b)$$

Этот формализм можно обобщить, чтобы из условия экстремума гамильтониана (17b) получалось уравнение Пуассона. Тогда потребуется добавить в  $H$  ещё один член:

$$H = \frac{1}{2} \int d^n x [|\nabla \phi|^2 + (\nabla \Phi)^2 + 2\Phi|\phi|^2]. \quad (21)$$

Отсюда следует, что решение стационарного уравнения Шрёдингера эквивалентно нахождению экстремума функционала

$$F = \frac{1}{2} \int d^n x [|\nabla \phi|^2 + (\nabla \Phi)^2 + 2\Phi|\phi|^2 + \lambda^2|\phi|^2]. \quad (22)$$

Последнее слагаемое добавлено из следующих соображений. Нам требуется минимизировать  $H$ , сохраняя число частиц  $N = \int_{-\infty}^{+\infty} |\phi|^2 d^n x$  неизменным, поэтому мы вводим множитель Лагранжа  $\lambda^2$ . Находя вариацию (20) по  $\phi^*$ ,

получаем уравнение  $\lambda^2 = -E$ .

Будем исследовать полученные решения на устойчивость, анализируя, минимизируют ли они энергию. Для определённости рассмотрим случай 2D-пространства. Найдём вторую вариацию (22) и потребуем, чтобы она была положительна. Будем работать с возмущением

$$\phi = [\phi_0(r) + u(r, \varphi, t) + iv(r, \varphi, t)] e^{-i\mathcal{E}t} e^{il\varphi}, \quad (23a)$$

$$\Phi = \Phi_0 + f, \quad (23b)$$

$$f = \Delta^{-1}(2\phi_0 u + u^2 + v^2). \quad (23c)$$

Получаем

$$2\delta^2 F = \int d^n x \left[ u L_1 u + v L_0 v - 2u \frac{l}{r^2} \frac{\partial}{\partial \phi} v + 2v \frac{l}{r^2} \frac{\partial}{\partial \phi} u \right], \quad (24a)$$

$$L_0 = -\Delta + \lambda^2 + 2\Phi + \frac{l^2}{r^2}, \quad (24b)$$

$$L_1 = -\Delta + \lambda^2 + 2\Phi + \frac{l^2}{r^2} + 4\phi_0 \Delta^{-1} \phi_0. \quad (24c)$$

Пусть  $c = 2l/r^2$ . При  $l = 0$  вклады от  $u$  и  $v$  независимы, и бозе-звезда стабильна, если удовлетворяет критерию Вахитова-Колоколова [6]  $\frac{\partial N}{\partial \mathcal{E}} < 0$ .

При  $l > 0$  имеем

$$2\delta^2 F = \int d^n x \begin{pmatrix} u & v \end{pmatrix} \begin{pmatrix} L_1 & -c \frac{\partial}{\partial \varphi} \\ c \frac{\partial}{\partial \varphi} & L_0 \end{pmatrix} \begin{pmatrix} u \\ v \end{pmatrix} = \begin{pmatrix} u & v \end{pmatrix} B \begin{pmatrix} u \\ v \end{pmatrix}. \quad (25)$$

Задача, таким образом, сводится к отысканию собственных значений оператора  $B$ . Если все они положительны, звезда стабильна. Будем работать в секторах  $0, 1, -1$ .  $u$  и  $v$  представим в виде:

$$u = a_{-1} e^{-i\varphi} + a_0 + a_1 e^{i\varphi}, \quad (26a)$$

$$v = b_{-1} e^{-i\varphi} + b_0 + b_1 e^{i\varphi}. \quad (26b)$$

Спектры остаются в изолированных секторах, так как  $L_1$  и  $L_0$  не содержат явной зависимости от  $\varphi$ . Получаем следующую спектральную задачу. Кри-

терием стабильности является положительность собственных значений  $B$ .

$$L_1 a_0 = E a_0 + \Lambda \phi_0, \quad (27a)$$

$$L_0 b_0 = E b_0, \quad (27b)$$

$$L_1 a_1 - i c b_1 = E a_1, \quad (27c)$$

$$L_1 a_{-1} + i c b_{-1} = E a_{-1}, \quad (27d)$$

$$L_0 b_1 + i c a_1 = E b_1, \quad (27e)$$

$$L_0 b_{-1} - i c a_{-1} = E b_{-1}. \quad (27f)$$

Здесь  $\Lambda$  - множитель Лагранжа, определяемый из условия  $\langle a_0 | \phi_0 \rangle = 0$ . Такое требование обусловлено тем, что мы не рассматриваем произвольные возмущения: только такие, которые сохраняют число частиц.

$a_0$  и  $b_0$  можно считать вещественными. Сделав замену  $a_1 = x_1 + i y_1$ ,  $b_1 = x_2 + i y_2$ , приходим к уравнениям

$$L_1 x_1 + c y_2 = E x_1, \quad (28a)$$

$$L_1 y_1 - c x_2 = E y_1, \quad (28b)$$

$$L_0 x_2 - c y_1 = E x_2, \quad (28c)$$

$$L_0 y_2 + c x_1 = E y_2. \quad (28d)$$

Легко убедиться, что похожая подстановка для  $a_{-1}$  и  $b_{-1}$  приводит к тем же результатам. Таким образом, при анализе невращающейся бозе-звезды следует работать с уравнениями (27ab), а при рассмотрении вращающейся

обратиться к системе

$$L_0 a_0 = E a_0 + \Lambda \phi_0, \quad (29a)$$

$$L_1 b_0 = E b_0, \quad (29b)$$

$$L_1 x_1 + c y_2 = E x_1, \quad (29c)$$

$$L_1 y_1 - c x_2 = E y_1, \quad (29d)$$

$$L_0 x_2 - c y_1 = E x_2, \quad (29e)$$

$$L_0 y_2 + c x_1 = E y_2. \quad (29f)$$

Данную систему можно решить численно, причём (29ab) и (29cdef) решаются независимо. От решений остаётся потребовать, чтобы на бесконечности возмущения обращались в ноль, также как  $\langle a_0 | \phi_0 \rangle$ . Значения энергии, при которых это выполняется, и есть искомый спектр. Наличие хотя бы одного отрицательного значения указывает на нестабильность.

Рассмотрим подробнее нахождение спектра (29ab). Как и  $\phi_0$ ,  $a_0$  и  $b_0$  имеют в нуле разложения вида  $r^l(c_1 + c_2 r^2 + c_3 r^4 \dots)$ . Получается три произвольных параметра: значение  $\Lambda$ , а также  $c_1$  для  $a_0$  и  $b_0$ . Есть, кроме того, три требования:  $a_0(\infty) = 0$ ,  $b_0(\infty) = 0$ ,  $f = 2\pi \int_0^{+\infty} a_0 \phi_0 r dr = 0$ . Получим три решения данной системы при различных начальных условиях:

$$c_{1a} = 1, 0, 0; \quad (30a)$$

$$c_{1b} = 0, 1, 0; \quad (30b)$$

$$\Lambda = 0, 0, 1. \quad (30c)$$

Обозначим решения для случаев 1,2,3 в виде

$$\phi_i = \begin{pmatrix} a_{0i}(s) \\ b_{0i}(s) \\ f_i(s) \end{pmatrix}, \quad (31)$$

где  $s$  - некоторое достаточно большое значение  $r$ . Искомое решение, которое удовлетворяет всем трём граничным условиям на бесконечности, есть линей-

ная комбинация полученных:

$$\begin{pmatrix} a_0(s) \\ b_0(s) \\ f(s) \end{pmatrix} = k_1\phi_1 + k_2\phi_2 + k_3\phi_3 = 0. \quad (32)$$

Система разрешима тогда и только тогда, когда

$$q_E = \det \begin{pmatrix} \phi_1 & \phi_2 & \phi_3 \end{pmatrix} = \det \begin{pmatrix} a_{01}(s) & a_{02}(s) & a_{03}(s) \\ b_{01}(s) & b_{02}(s) & b_{03}(s) \\ f_1(s) & f_2(s) & f_3(s) \end{pmatrix} = 0. \quad (33)$$

Таким образом, варьируя  $E$  и получая три решения для каждого значения, мы сможем увидеть, в каких точках  $q_E$  пересекает ноль. Эти точки и будут искомым спектром. Наличие хотя бы одного отрицательного значения  $E$ , при котором  $q_E$  обращается в ноль, указывает на нестабильность бозе-звезды.

Введём аналогично детерминант  $4 \times 4$   $s_E$  для системы (28cdef).

Обратимся к анализу решения, полученного для  $l = 0$ :

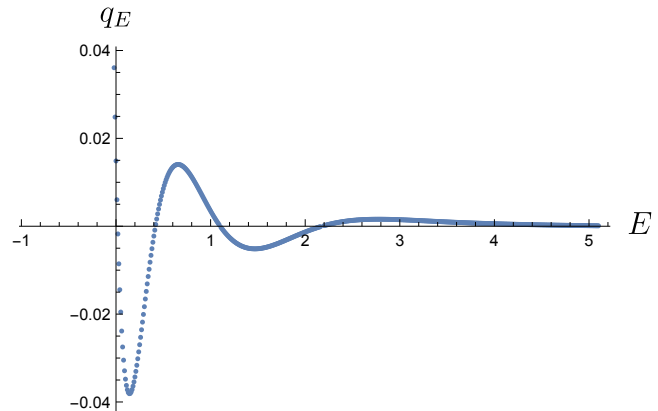
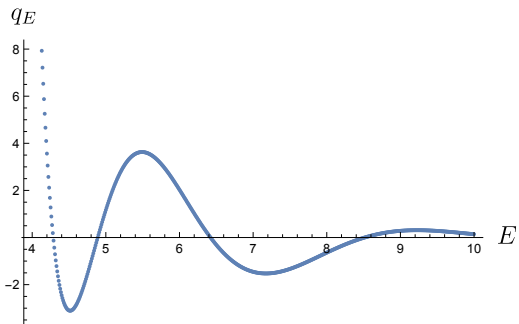


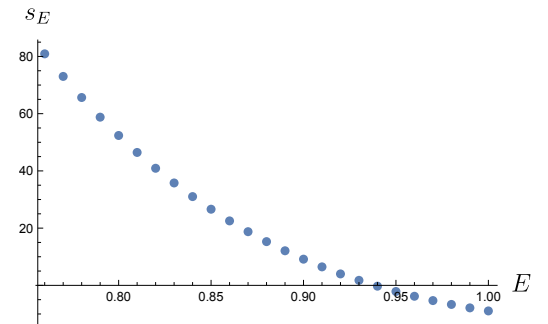
Рис. 5: Зависимость параметра системы от энергии при  $l=0$ . Энергии, при которых  $q_E$  обращается в ноль - искомый спектр

Отрицательных мод в результате не было обнаружено, так что при  $l = 0$  бозе-звезда стабильна.

$l=1$ :



(a)



(b)

Рис. 6: Зависимость параметров системы от энергии при  $l=1$ . Отрицательных значений нет.

$l=2$ :

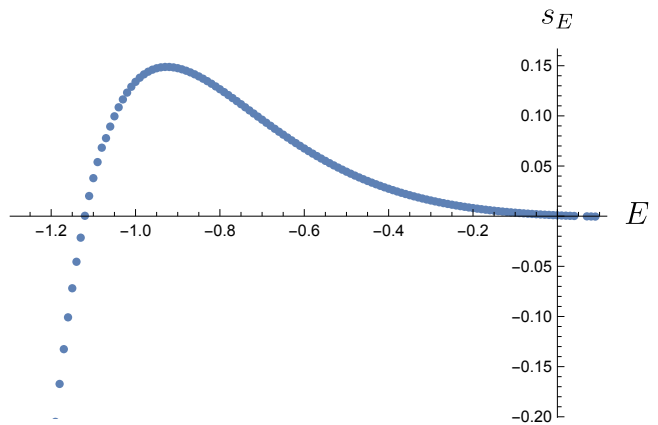


Рис. 7: Зависимость  $s_E$  от энергии при  $l=2$ .

Среди вращающихся бозе-звёзд в 2D, таким образом, стабильны лишь звёзды с орбитальным моментом  $l = 1$ .

## 6 Заключение

- Получены профили невращающейся бозе-звезды в 3D и вращающихся звезд в 2D.
- Изучена стабильность этих объектов.
- Показано, что все невращающиеся бозе-звезды стабильны.
- Двумерные вращающиеся бозе-звезды с  $l=1$  стабильны, а с  $l=2$  - нестабильны.

## 7 Список литературы

- [1] Vincent B. Klaer, Guy D. Moore "The dark-matter axion mass 2017 JCAP 1711 (2017) no.11, 049 arXiv: 1708.07521 [hep-ph]
- [2] Л.Д.Ландау, Е.М.Лифшиц, Теоретическая физика, том 3 "Квантовая Механика. Нерелятивистская теория"
- [3] D.G. Levkov, A.G. Panin and I.I. Tkachev, "Relativistic axions from collapsing Bose stars Phys. Rev. Lett. 118 (2017) no.1, 011301 [arXiv:1609.03611]
- [4] Л.Д.Ландау, Е.М.Лифшиц, Теоретическая физика, том 9 "Статистическая Физика. Часть 2"
- [5] William H. Press, Saul A. Teukolsky, William T. Vetterling, Brian P. Flannery, "Numerical Recipes. The Art of Scientific Computing". Third edition, C++.
- [6] В.Е. Захаров, Е.А. Кузнецов, "Солитоны и коллапсы: два сценария эволюции нелинейных волновых систем," Успехи Физических Наук, том 182, no 6, июнь 2012